

ミー散乱レーザーレーダー(2波長)による大気混合層
飛達過程の観測

Atmospheric mixed layer development observed
by a Mie Laser radar.

佐野泰弘、清水浩、竹内近天、奥田典夫

Y. Sasano, H. Shimizu, N. Takeuchi and M. Okuda

国立公害研究所

National Institute for Environmental Studies

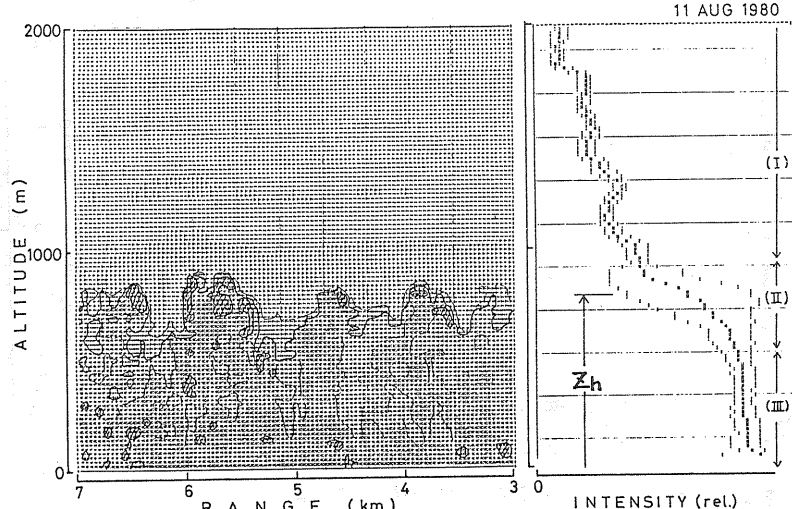
はじめに 大気混合層の飛達過程の観測を国立公害研大型レーザーレーダー(ミー散乱、 $1.06\mu\text{m}$ および $0.53\mu\text{m}$)を利用して行なった。観測は主として RH T モード測定により、混合層の鉛直面内構造を得た。また slant path 法により各波長での大気の光学的厚さを求め、その時間変化と粒径に関する情報を得た。

観測および解析 風が弱く日射の強い日を選んで観測を実施し(表1), レーザーレーダーは 15 分～30 分毎に 2 波長での RH T 観測を繰り返した。データ処理は大型電算機を用いて通常の方法で行ない、体積後方散乱係数に比例する量としてエアロゾルの相対的な濃度分布を求めた。図1に示すように距離 4 km, 高さ 2 km の領域についてエアロゾル濃度の 2 次元分布を計算し、同時に、距離方向について平均してエアロゾルの鉛直濃度分布と濃度変化の標準偏差を求めた。Slant path 法を減衰項補正前 α 2 次元分布データに適用し、地表から各高度までの光学的厚さを求めた。粒径分布関数 $m(r) \sim r^{-b}$ における b の値を、2 波長の光学的厚さの比(減衰係数の比)から評価した。

結果 図1に代表的に示されるような混合層の空間構造が、エアロゾル分布をトレーサーとして把握される。図1(右)は、平均濃度鉛直分布と標準偏差の大きさを示しており、これから混合層を 3 つの領域に分けることができる。すなわち(I)上部の濃度の低い層、(II)上部と下部の相互作用の存在する遷移層、(III)下部の濃度が高くて良く混合されている層である。このうち(II)の遷移

表1. 観測日の気象条件(日平均風速と全日射量)

| No. | Date | Wind Speed ^{a)} | Insolation ^{b)} |
|-----|-----------|--------------------------|--------------------------|
| 1 | 1980.8.11 | 2.2 | 569 |
| 2 | 12 | 2.0 | 532 |
| 3 | 13 | 1.9 | 535 |
| 4 | 10. 4 | 1.1 | 436 |
| 5 | 6 | 2.3 | 331 |
| 6 | 8 | 1.4 | 299 |
| 7 | 9 | 2.0 | 388 |
| 8 | 22 | 4.3 | 362 |
| 9 | 23 | 1.3 | 366 |
| 10 | 24 | 1.9 | 225 |
| 11 | 27 | 2.9 | 358 |



a) daily average (m/s)

b) total (cal/cm^2)

1. 鉛直面内のエアロゾル分布(左)と平均鉛直濃度分布(右)。測定時刻、13時55分。測定波長 $1.06\mu\text{m}$ 。

領域についての理解を深めることが混合層発達のメカニズムを考える上で重要である。

遷移領域(II)の高さ方向へのひずみを L_z 、濃度変化の標準偏差が最大となる高度を z_h とすると、 L_z は相互作用の鉛直スケール、 z_h は混合層高度を代表させることがある。図2は z_h と L_z の時間変化をNo.2の観測日についてプロットしたもので、混合層の発達が示されていき。

観測No.1~11について、これと同様のプロットをし、混合層高度(z_h で代表される)の時間変化をまとめ図3に示す。図中数字は観測No.を意味する。8月11~13日(No.1~3)を実線で、10月4~9日(No.4~7)を破線で、10月22~27日(No.8~11)を一点鎖線で描いてある。混合層の発達は大気の成層状態や地表面熱フラックスの大きさに依存するか、図3で示した各観測日の z_h のふるまいは日射量の大きさと平均風速と定性的に理解できる。

図4に、slant path法で求めた大気の光学的厚さ(地表から200mまでの平均的な厚さ)を $1.06\mu\text{m}$ (○EP)と $0.53\mu\text{m}$ (○EP)について示してある。この日(8月12日)は顕著な混合層の発達が見られたが(図2)、混合層の発達と光学的厚さの時間変化の間に相関関係は見られない。

粒径分布関数を $m(r) \sim r^{-b}$ と仮定すると、光学的厚さでは、 $\tau \sim \lambda^{3-b}$ で表わされる。ここで、 r は粒径、 λ は波長である。したがって2波長での光学的厚さの比は b の値に換算される。8月12日は、 b の値の変化も小さく粒径分布にあまり変化はないか、 T_c と考えられる。

その他日々については、必ずしも8月12日と同様ではないが、混合層の発達と相図の b の変化は少くとも $0 \sim 200\text{m}$ 間にについては見出せない。

注) 減衰項の補正は、slant path法で求めた $0 \sim 200\text{m}$ 高度向の減衰係数を全領域に適用した。そのために、領域(I)での過大評価が遅れてしまう。

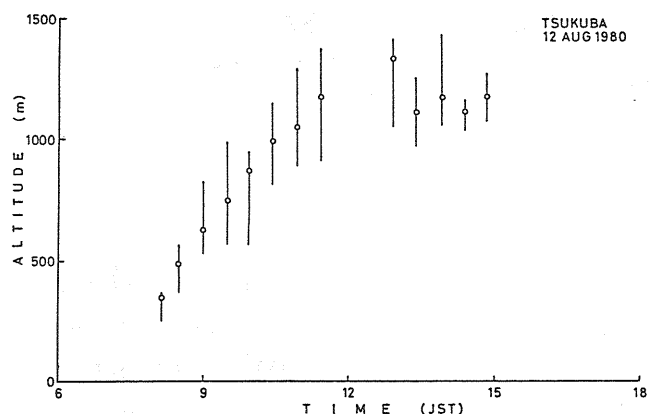


図2. z_h (○印)と L_z (縦線)の時間変化。
測定波長 $1.06\mu\text{m}$ 。

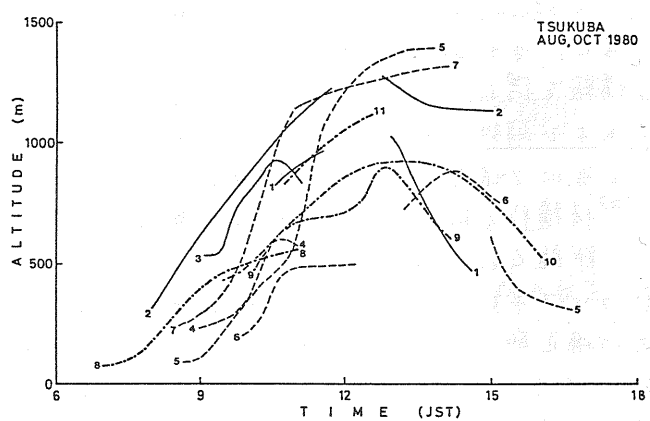


図3. z_h の時間変化。数字は観測No.(表1)に対応する。

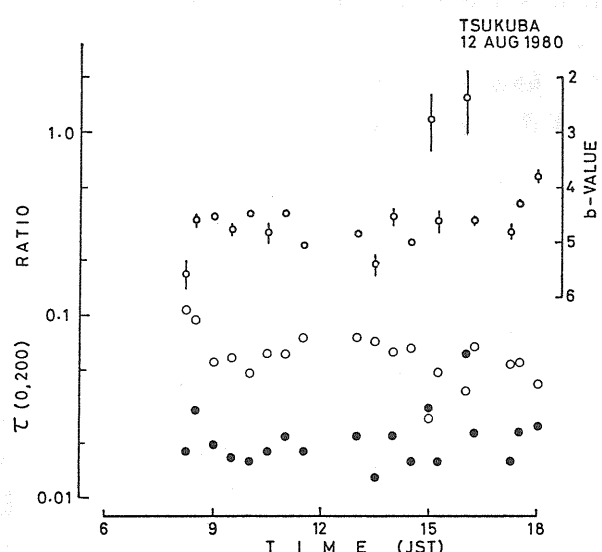


図4 地表から高度200mまでの平均的な光学的厚さの時間変化 ●EPは $1.06\mu\text{m}$, ○EPは $0.53\mu\text{m}$ 。△は両波長の比で、 b 値に換算される。